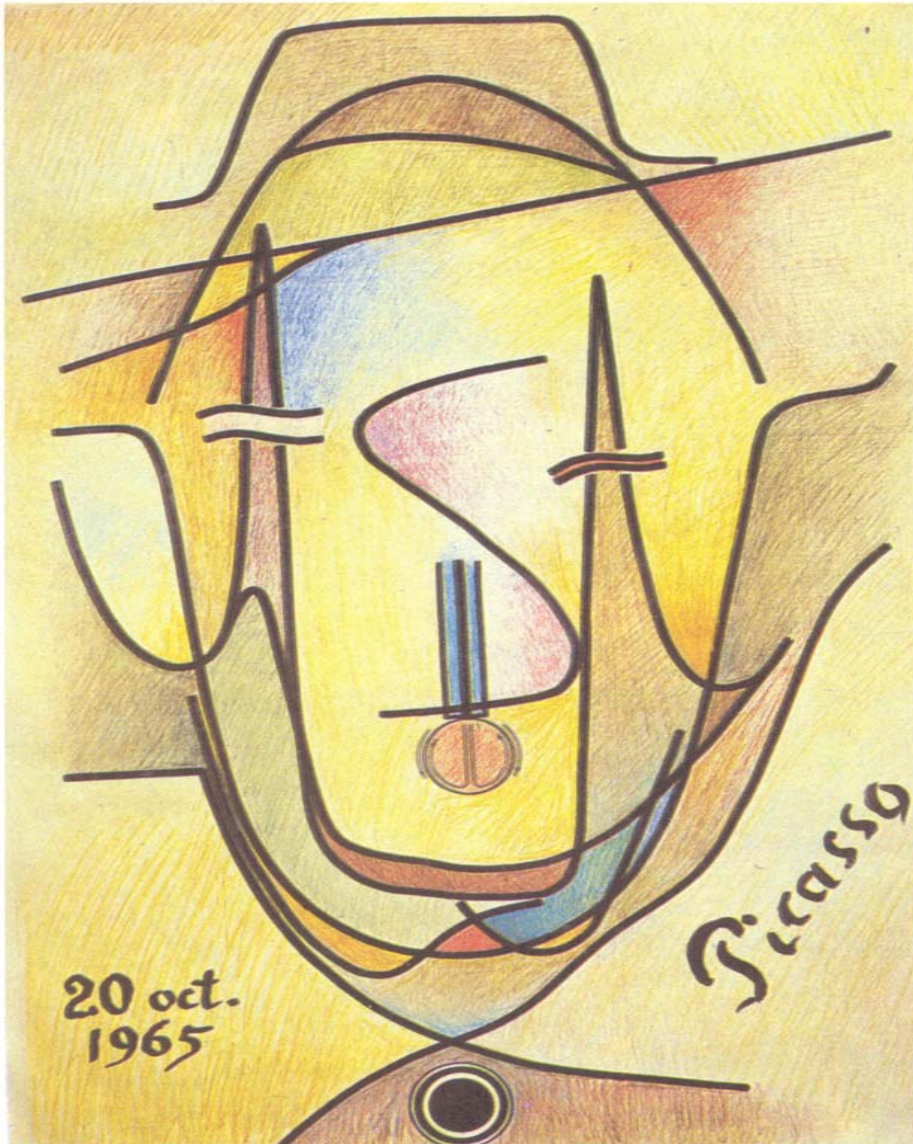


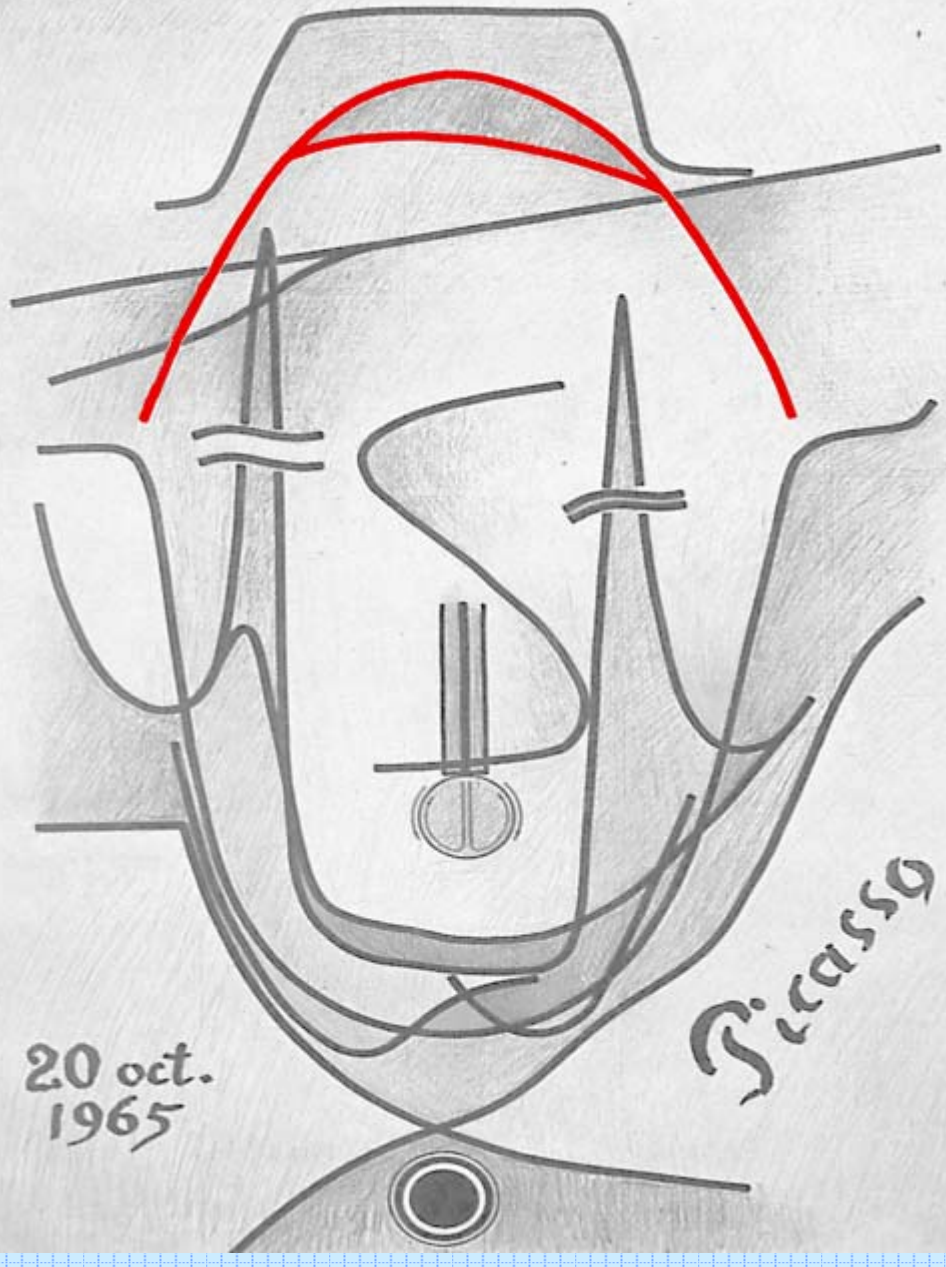
Свежий взгляд на портрет Фрумкина а la Picasso

Б.Б.Дамаскин



Здесь вместо носа появилась изотерма





G. Lippmann “Relations entre les phenomenes electriques et capillaries”,
Ann. chim. phys. (5), **5**, 494 (1875)

G. Gouy “Sur la fonction electrocapillaire I”,
Ann. chim. phys. (7), **29**, 145 (1903)

G. Gouy “Sur la fonction electrocapillaire II”,
Ann. chim. phys. (8), **8**, 291 (1906)

G. Gouy “Sur la fonction electrocapillaire III”,
Ann. chim. phys. (8), **9**, 75 (1906)

A. Frumkin “Zur Theorie der Elektrokapillaritat. I.”,
Ztschr. phys. Chem., **103**, 43 (1923)

A. Frumkin “Zur Theorie der Elektrokapillaritat. II.”,
Ztschr. phys. Chem., **103**, 55 (1923)

**RELATIONS ENTRE LES PHÉNOMÈNES ÉLECTRIQUES
ET CAPILLAIRES ;**

PAR M. GABRIEL LIPPMANN,

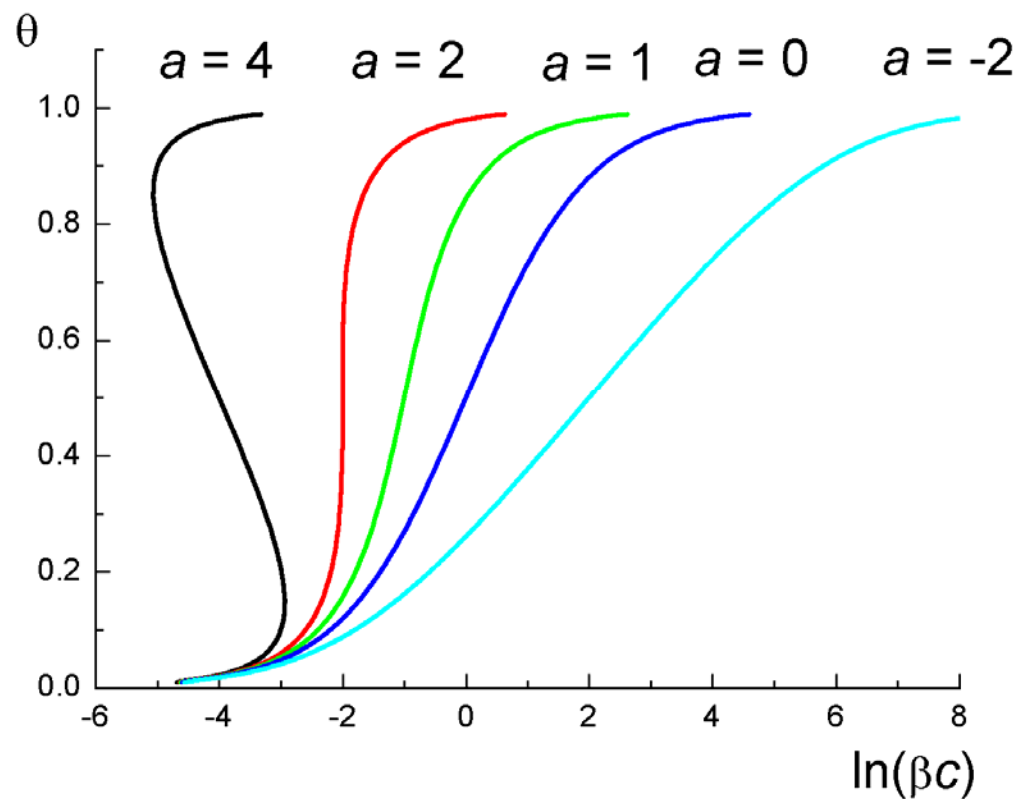
Ancien élève de l'École Normale supérieure.

HISTORIQUE.

La forme d'une surface liquide en équilibre satisfait à l'équation bien connue donnée par Laplace. On sait que l'analyse de Laplace s'appuie sur l'hypothèse de certaines forces moléculaires agissant au voisinage de la surface ; l'expérience a toujours confirmé les résultats de cette analyse. On peut diviser l'étude expérimentale de la capillarité en deux parties : 1^o vérification expérimentale de l'équation de Laplace, notamment de la loi de Jurin, qui en est une conséquence ; 2^o détermination numérique du coefficient unique que contient l'équation de Laplace, et qu'on a appelé depuis *constante capillaire* ou *tension superficielle*. Si la première partie a donné des résultats satisfaisants, il n'en est pas de même de la seconde. Pour une surface de nature donnée, pour la surface de contact eau-mercure par exemple, l'expérience fournit des valeurs qui varient sans raison apparente, qui diminuent avec le temps. Ces variations ont été d'abord constatées par M. Quincke (¹). Ce physicien a trouvé que la tension superficielle des surfaces liquides qu'il a étudiées (eau-air, mercure-air, eau-mercure, alcool-mercure, etc.) allait en diminuant d'une manière continue à partir du premier moment

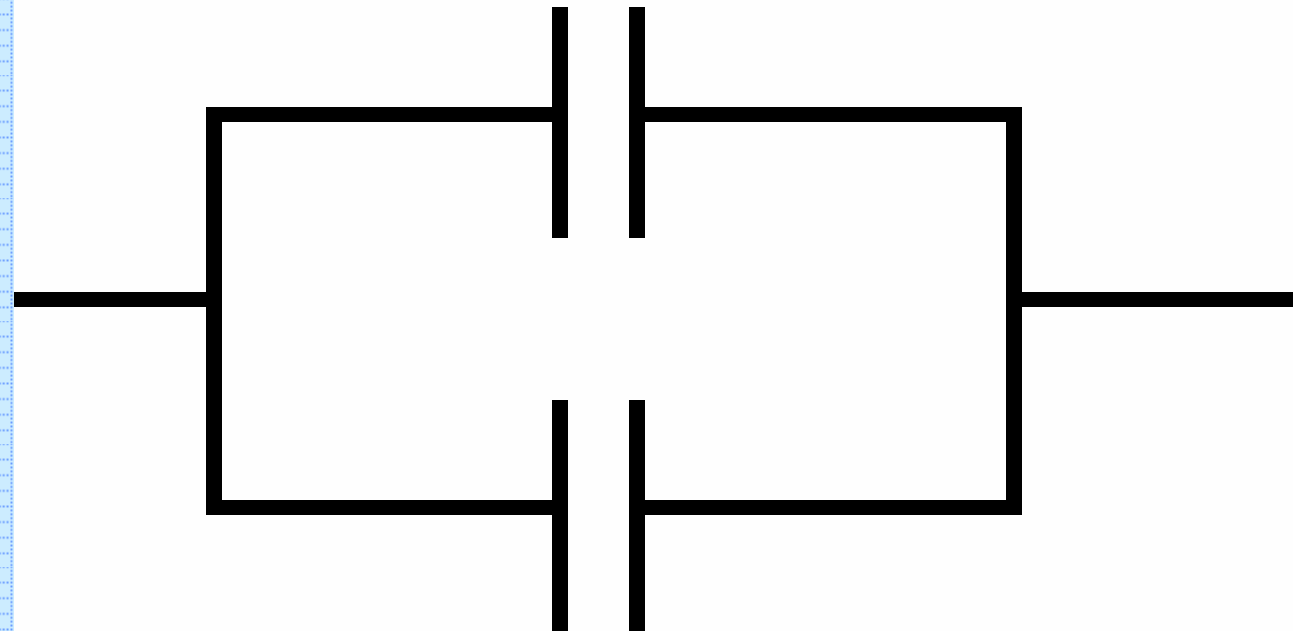
(¹) *Annales de Poggendorff*, t. CXXXIX, p. 1; 1870.

$$\beta c = \frac{\theta}{1-\theta} \exp(-2a\theta)$$



$$q = q_0(1 - \theta) + C_1(\varphi - \varphi_N)\theta$$

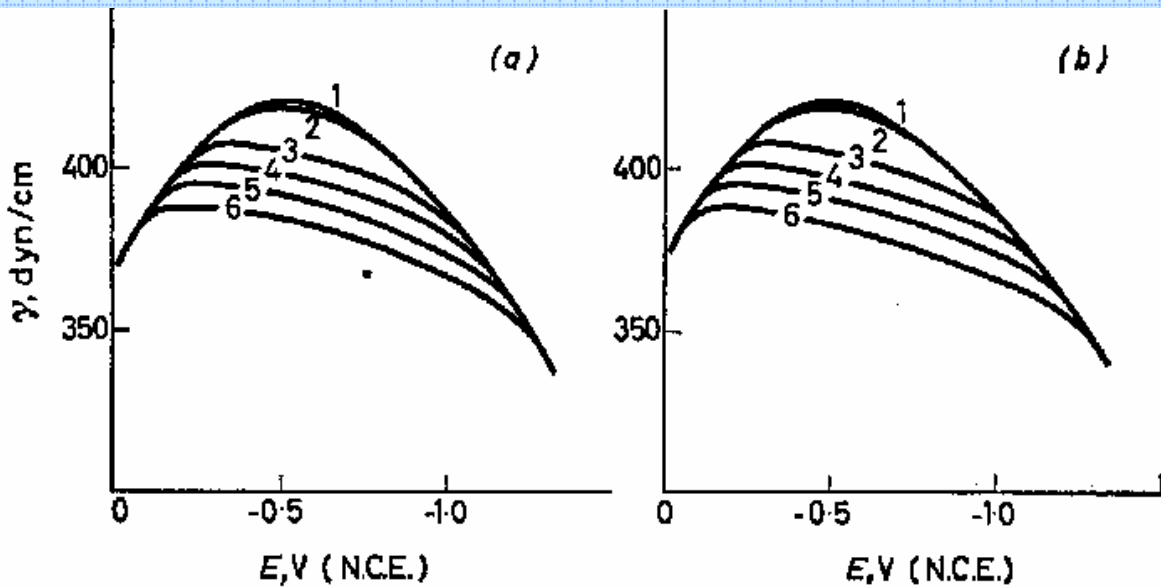
$$C_{\theta=1}\theta(1-\theta)$$



$$C_{\theta=1}\theta$$

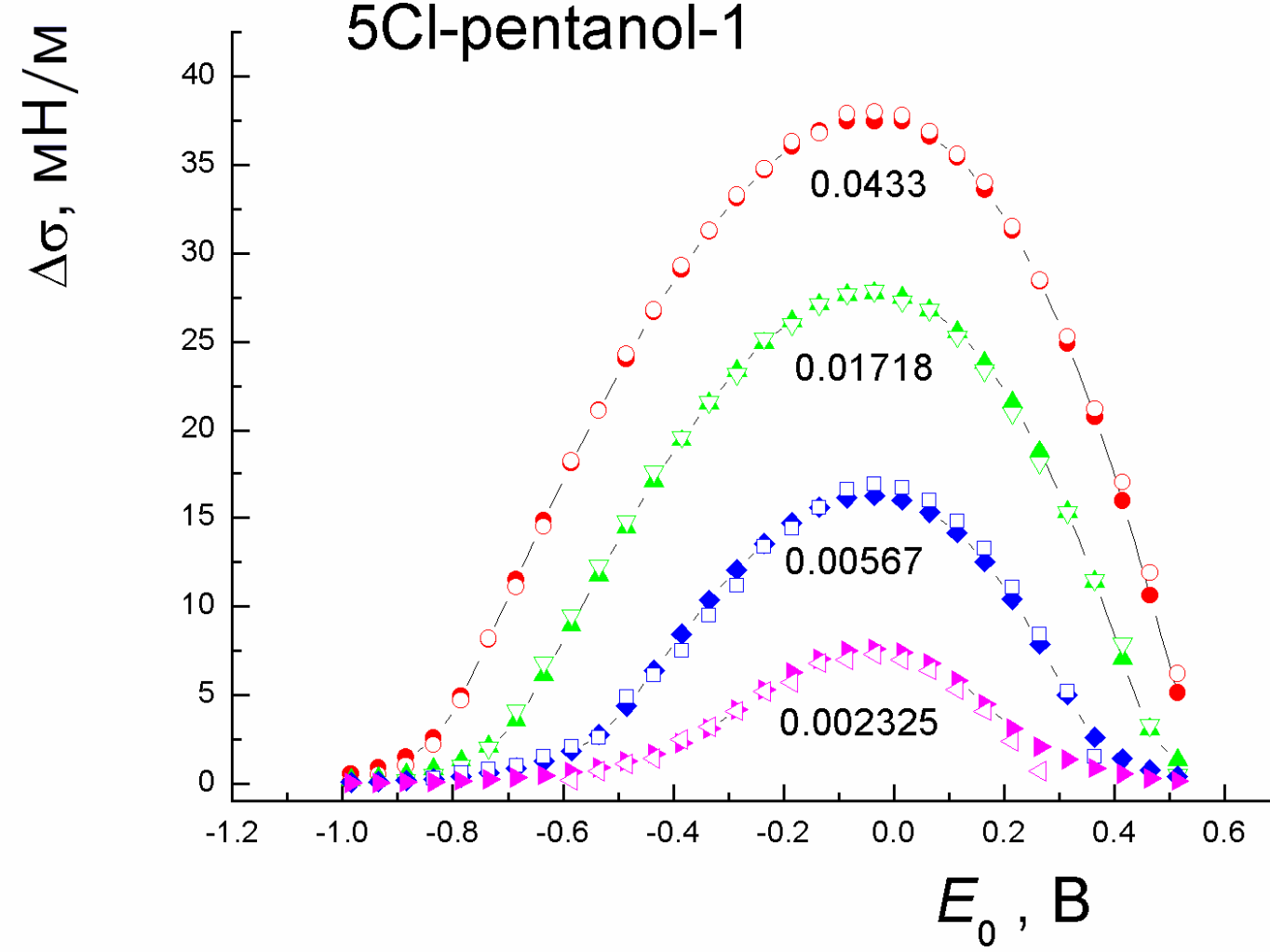
Electrocapillary curves of a mercury electrode in 1M NaCl solutions containing tret-pentanol additives:

1 - 0; 2 - 0.01; 3 - 0.05; 4 - 0.1; 5 - 0.2; 6 - 0.4 M

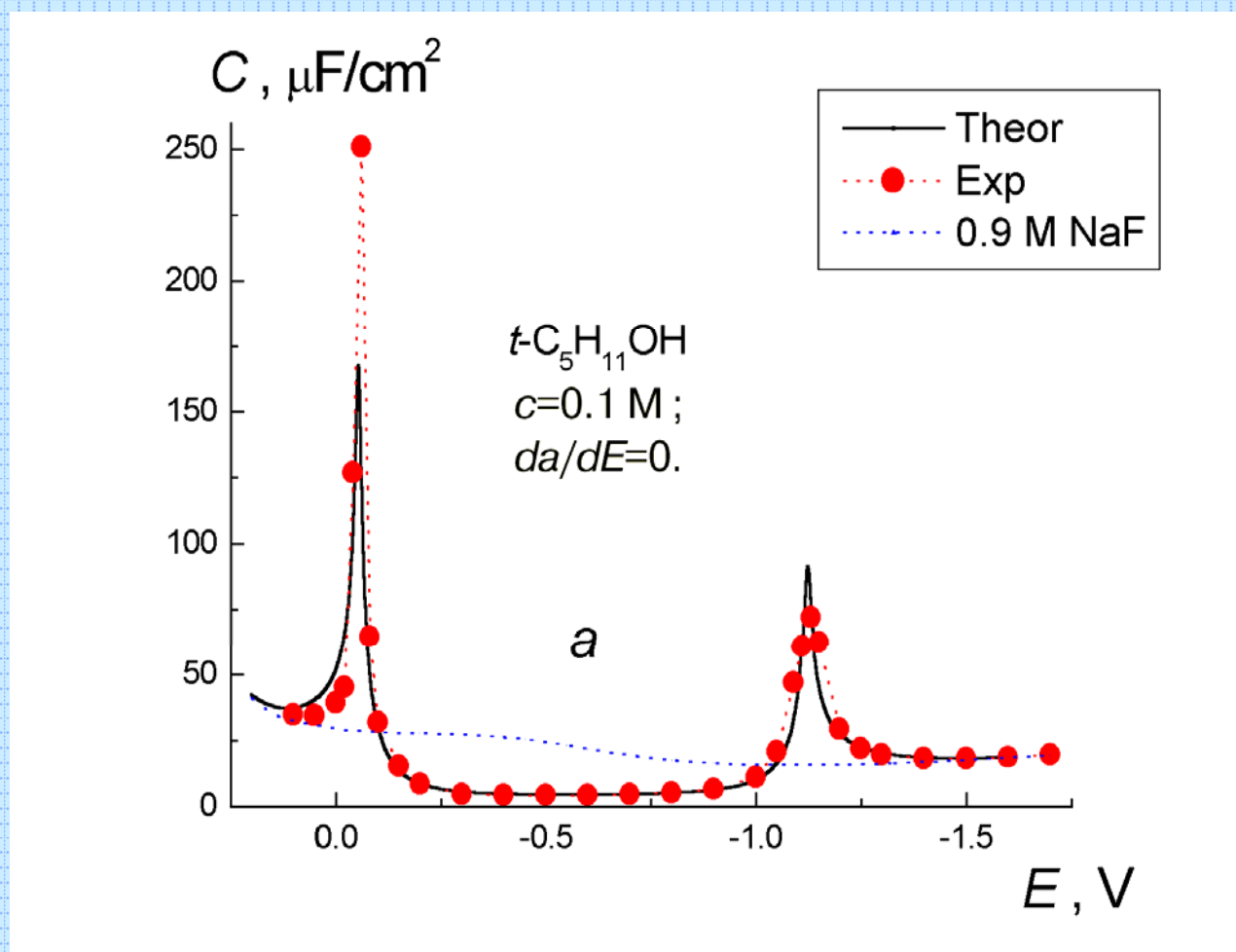


Experimental data

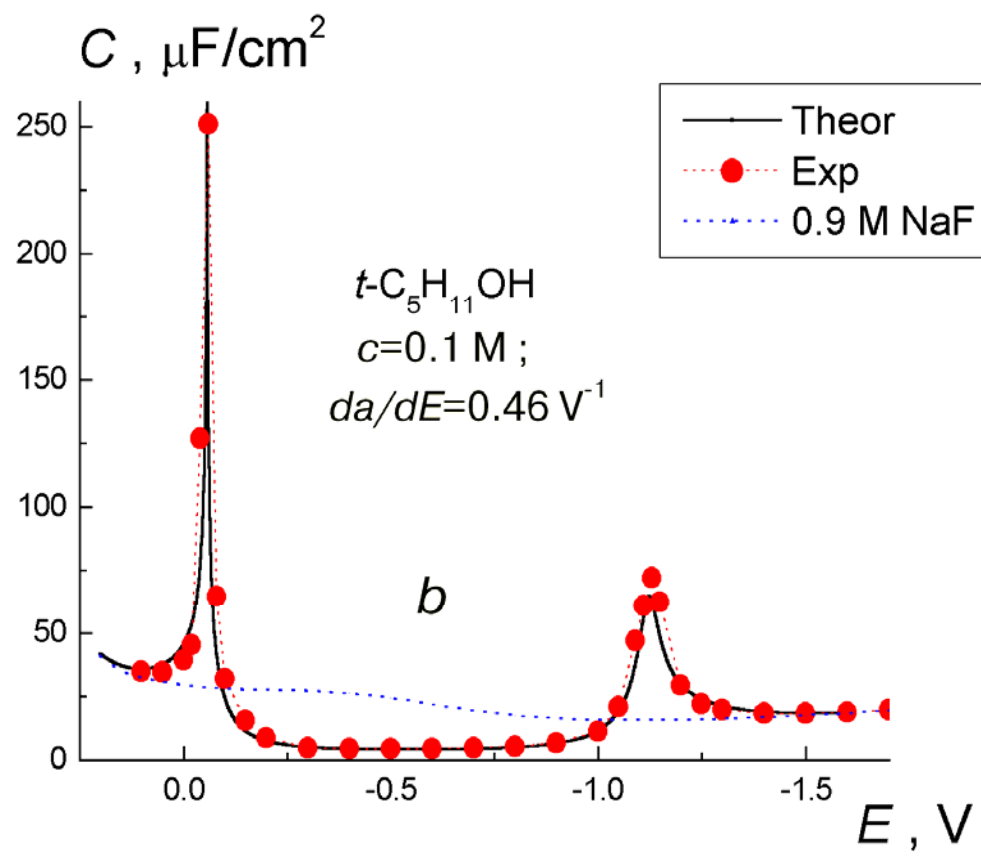
Calculated



Experimental and simulated differential capacity curves, $a=\text{const}$



Experimental and simulated differential capacity curves: linear a, E - dependence

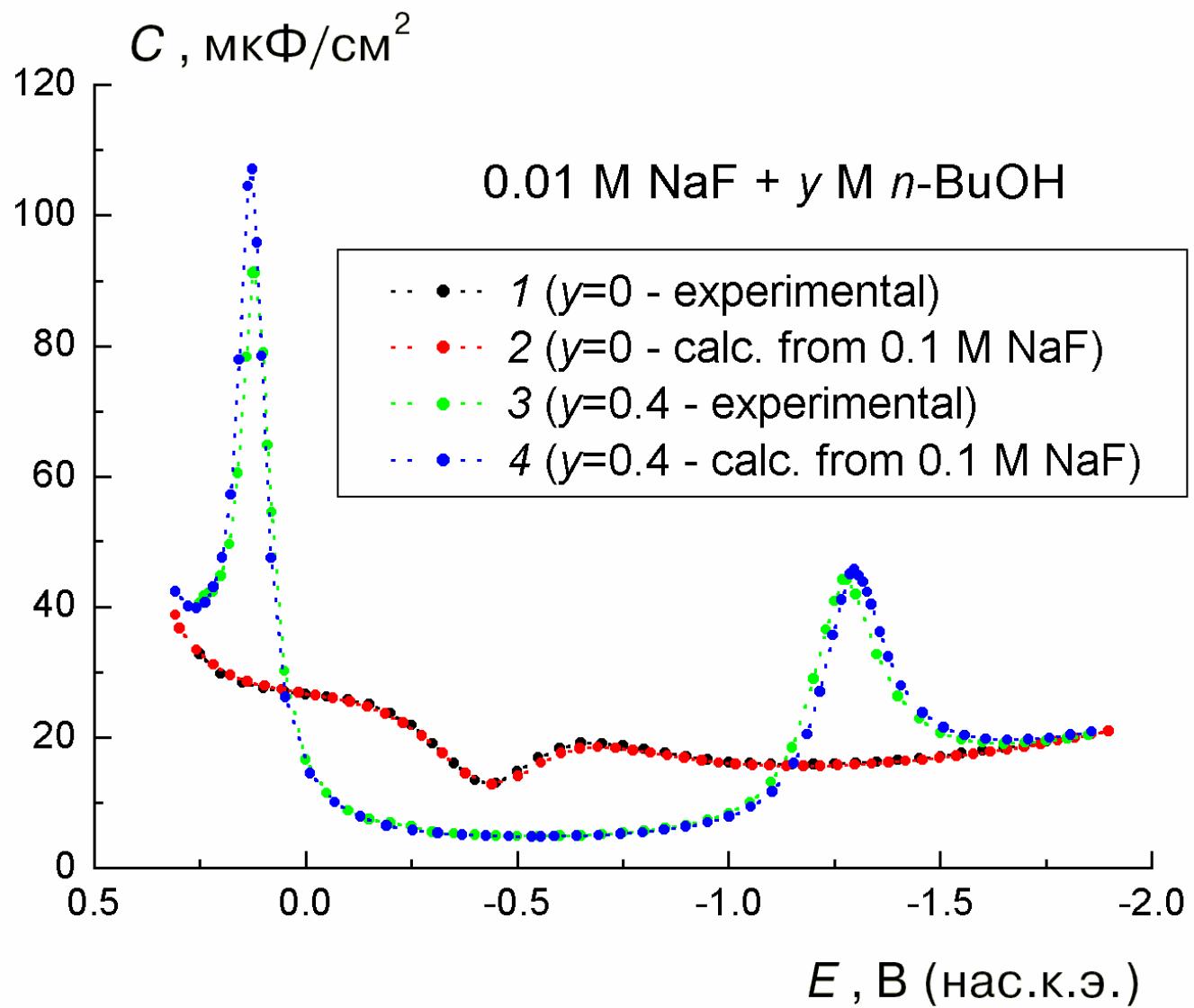


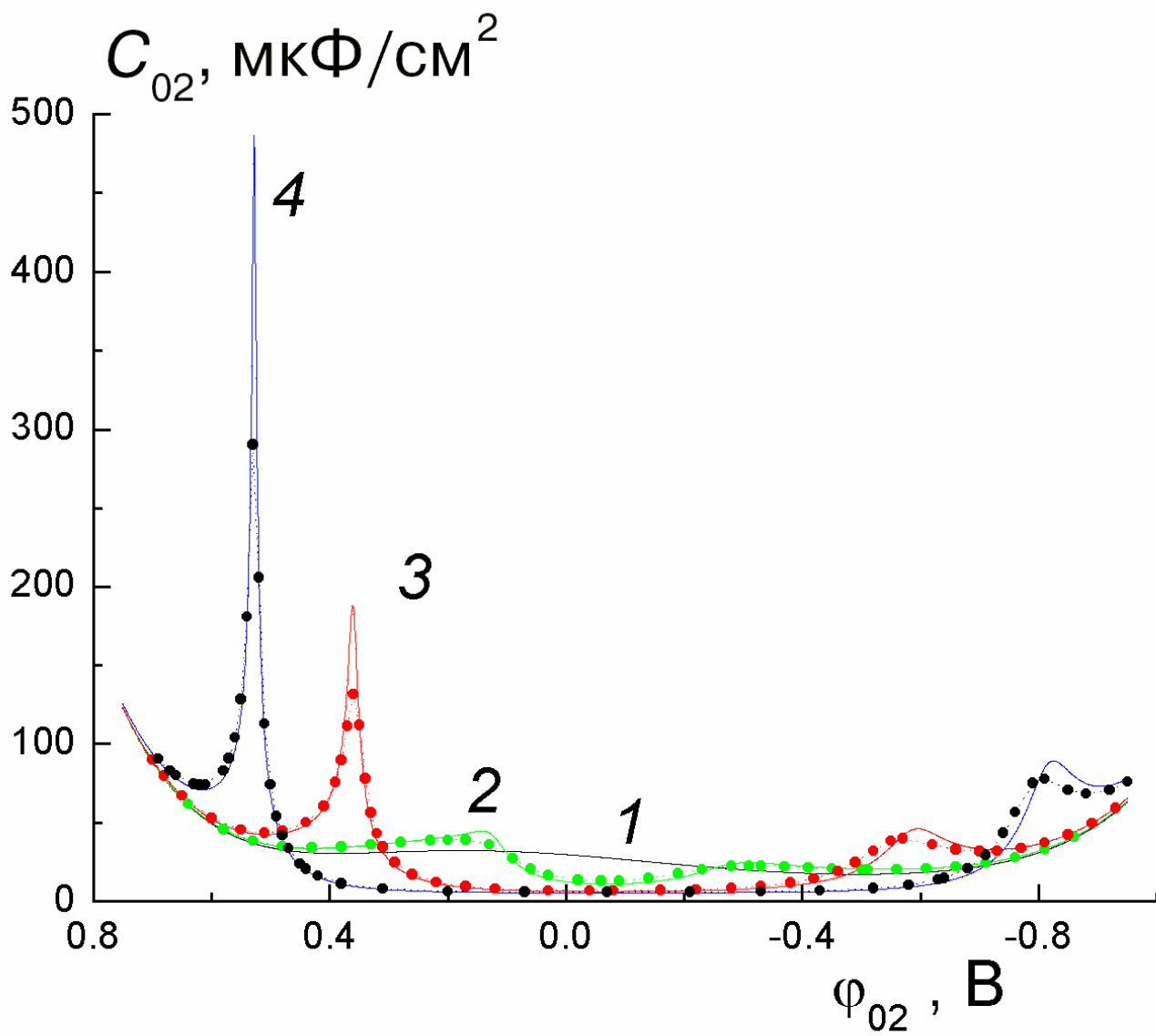
$$1/C = 1/C_{02} + 1/C_2$$

$$\varphi = \varphi_{02} + \varphi_2$$

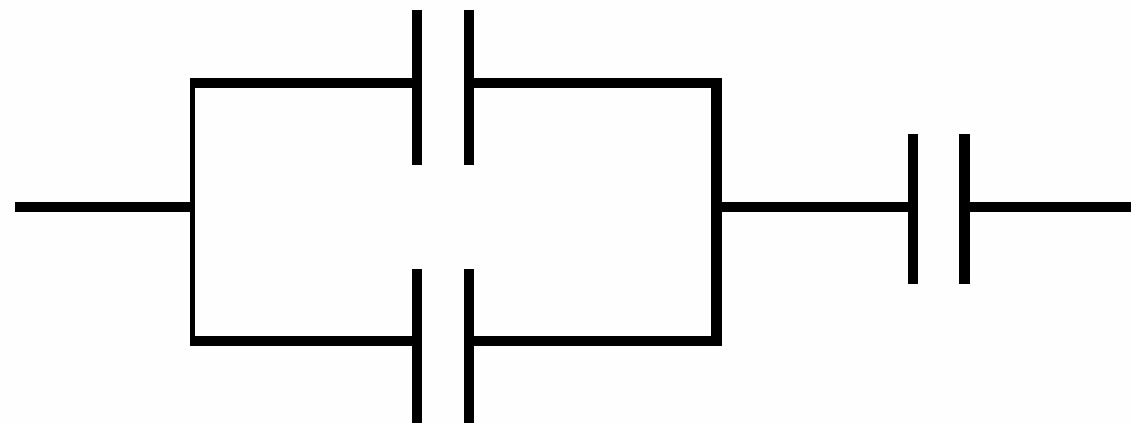
$$C_2 = (F / 2RT) \sqrt{4A_d^2 x + q^2}$$

$$\varphi_2 = \frac{2RT}{F} \operatorname{arcsinh} \left(\frac{q}{2A_d \sqrt{x}} \right)$$





Models of two parallel capacitors taking into account diffuse part of the electrical double layer



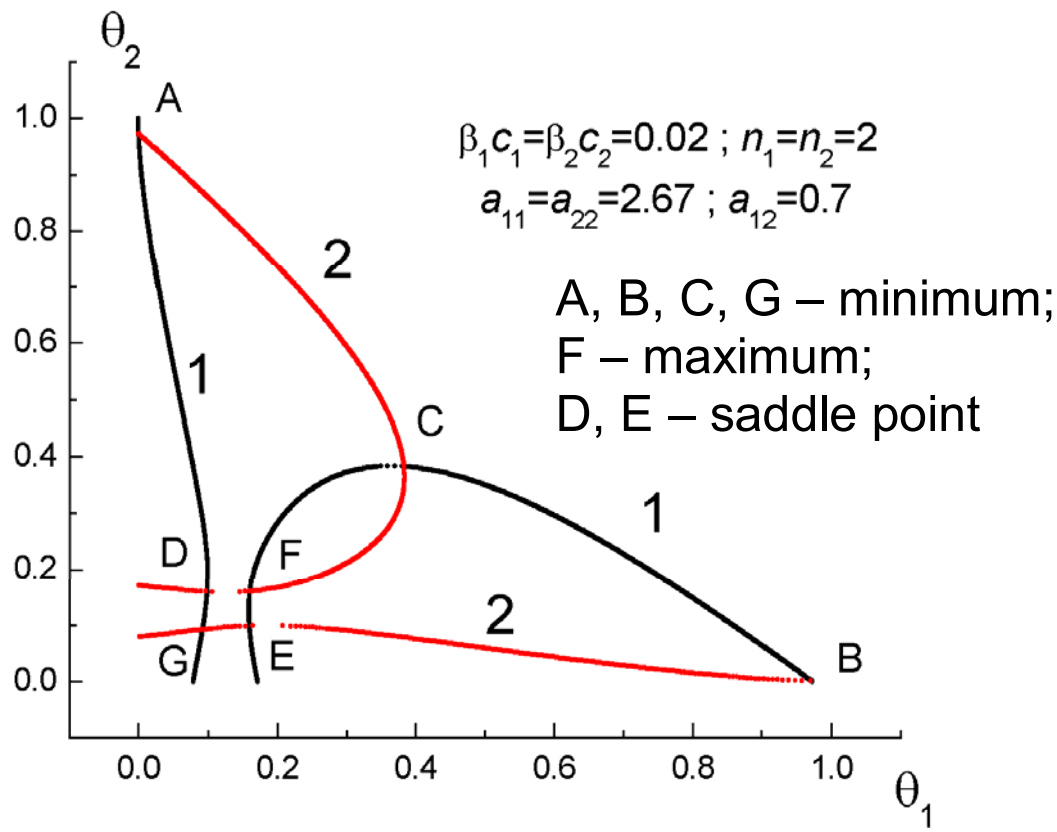
Coadsorption of two solution components. Combination of two mixed Frumkin isotherms

$$\sigma = \sigma_0(1 - \theta_1 - \theta_2) + C_1 \theta_1(E_0 - E_{N1}) + C_2 \theta_2(E_0 - E_{N2})$$

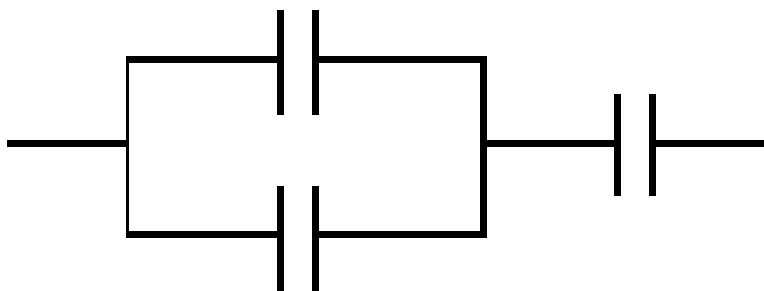
$$\beta_1 c_1 = \frac{\theta_1}{n_1 (1 - \theta_1 - \theta_2)^{n_1}} \exp(-2n_1 a_{11} \theta_1 - 2n_1 a_{12} \theta_2)$$

$$\beta_2 c_2 = \frac{\theta_2}{n_2 (1 - \theta_1 - \theta_2)^{n_2}} \exp(-2n_2 a_{22} \theta_2 - 2n_2 a_{12} \theta_1)$$

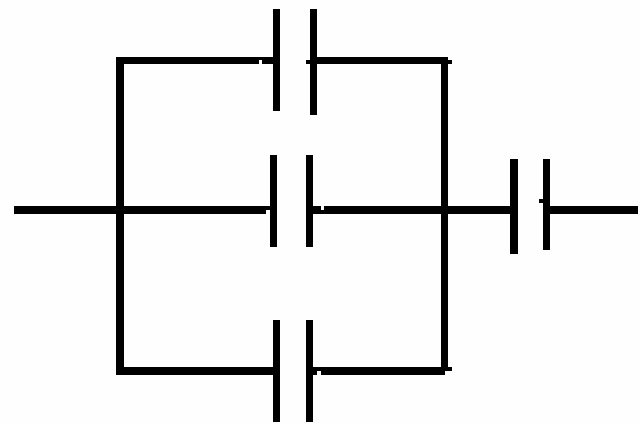
θ_2, θ_1 relationships corresponding to two equations of mixed Frumkin isotherms



Models of two and three parallel capacitors taking into account diffuse part of the electrical double layer

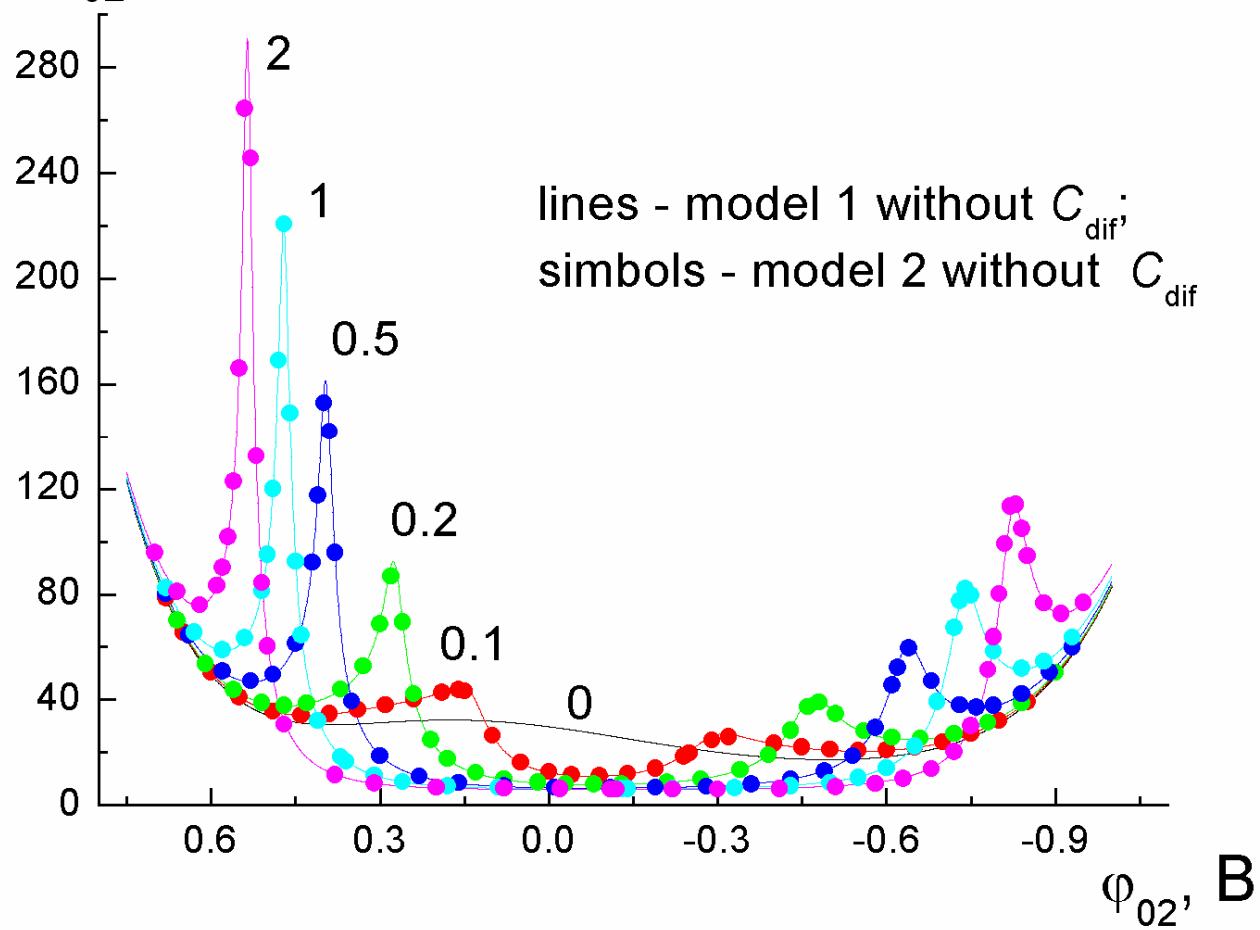


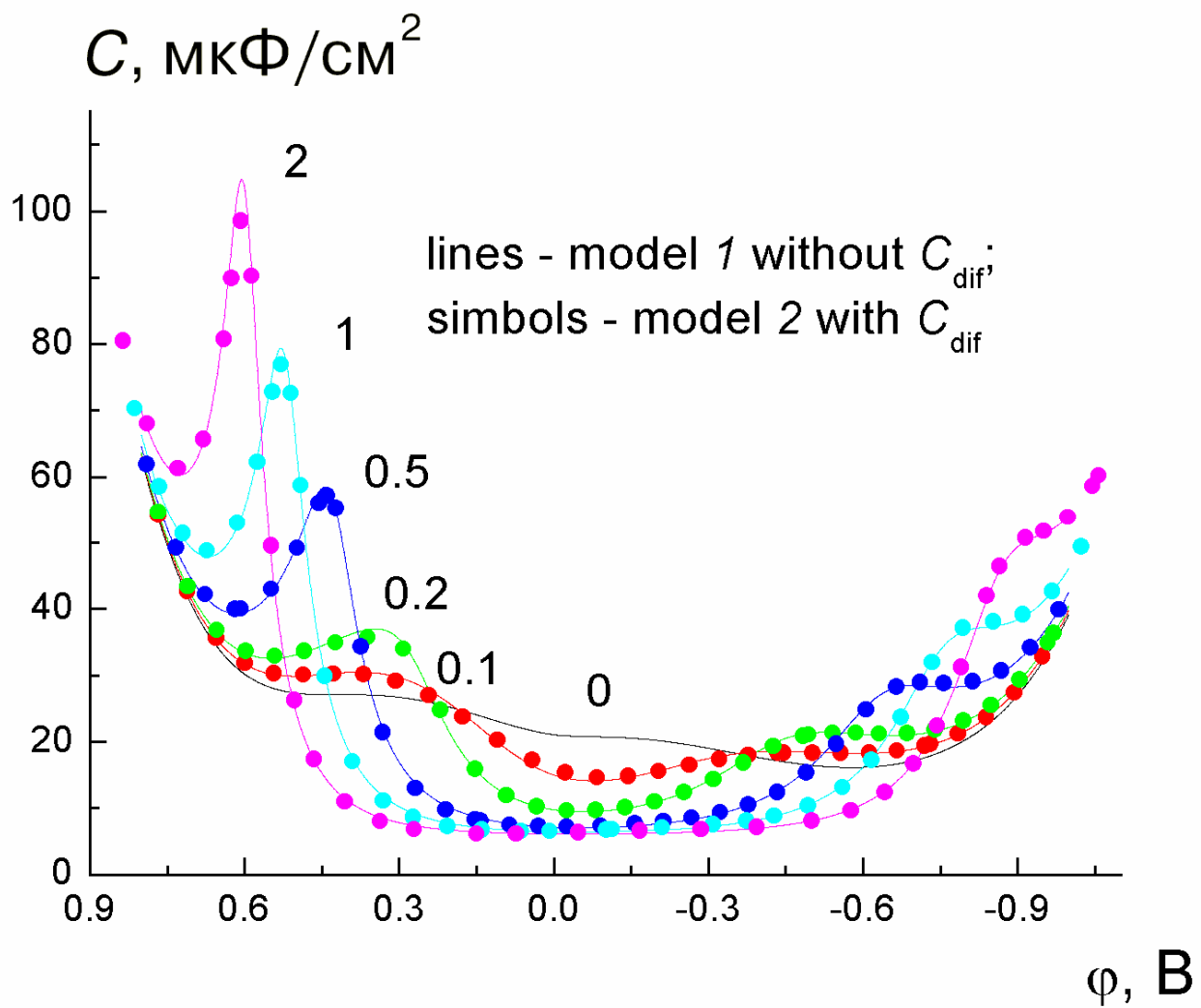
1



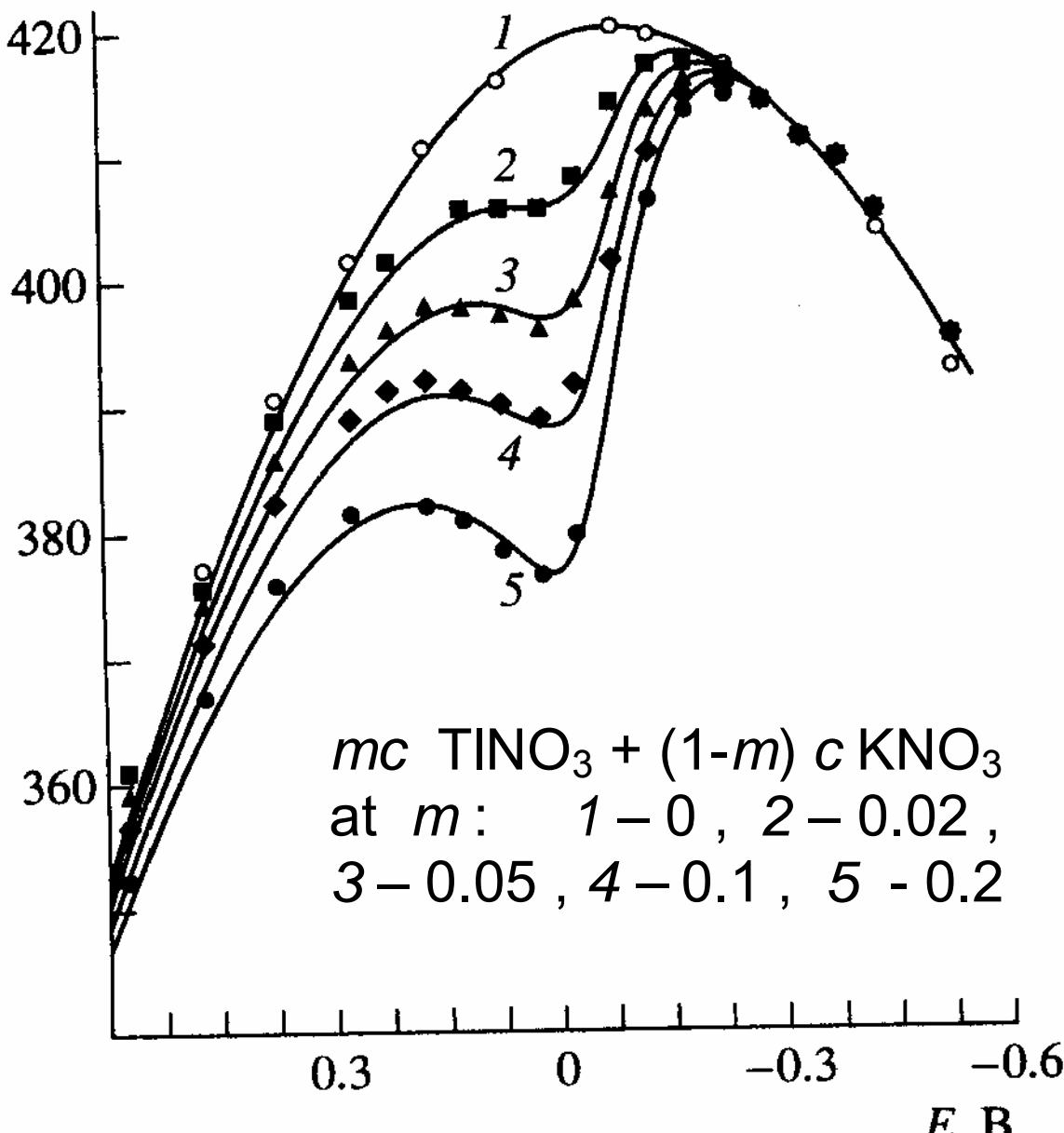
2

C_{02} , Мк Φ /см 2

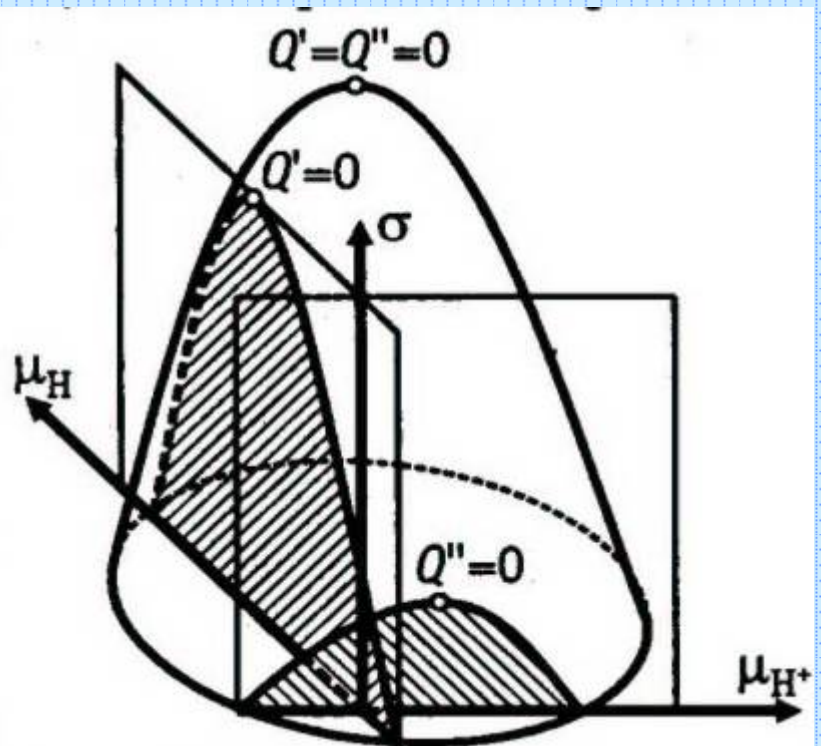




σ , mH/m



Термодинамика поверхности электродов, адсорбирующих водород и кислород



ADSORPTION OF IONS AND ATOMS ON PLATINUM-GROUP METALS*

A. N. FRUMKIN and O. A. PETRY

Moscow State University, Institute of Electrochemistry of the Academy of Sciences of the
U.S.S.R. Moscow, U.S.S.R.



$$d\sigma = -Q dE_r - \frac{q}{F} d\mu_{H^+}$$

$$C_{d.l.} = -FC \left(\frac{\partial E_r}{\partial \mu_{H^+}} \right)_Q = \frac{C}{0.058} \left(\frac{\partial E_r}{\partial pH} \right)_Q,$$

$$C_{d.l.} = \left(\frac{\partial q}{\partial E_r} \right)_{\mu_i, \mu_{H^+}} ; C = \left(\frac{\partial Q}{\partial E_r} \right)_{\mu_i, \mu_{H^+}} .$$

A set of combined techniques

Chronopotentiometry
(equilibrium charging curves)

Equilibrium CV

Isoelectric shifts
of potential

Potentiometric
titration under
isoelectric
conditions

$$C_t = \left(\frac{\partial Q_t}{\partial E(\text{RHE})} \right)_{\mu_{H^+}}$$

$$C_f = \left(\frac{\partial q_f}{\partial E(\text{RHE})} \right)_{\mu_{H^+}} = \left(\frac{\partial E(\text{RHE})}{\partial \mu_{H^+}} \right)_{\mu_{\text{CA}}} * C_t$$

$$C_t - E(\text{RHE})$$

$$Q_t - E(\text{RHE})$$

$$A_H - E(\text{RHE})$$

$$q_f - E(\text{RHE})$$

$$E_{ptzc}$$

$$E_{pfzc}$$

$$C_f - E(\text{RHE})$$

$$\left(\frac{\partial E}{\partial \mu_{HA}} \right)_Q$$

$$\left(\frac{\partial E}{\partial pH} \right)_Q$$

CO adsorption

Adsorption curves

Radiotracer
measurements

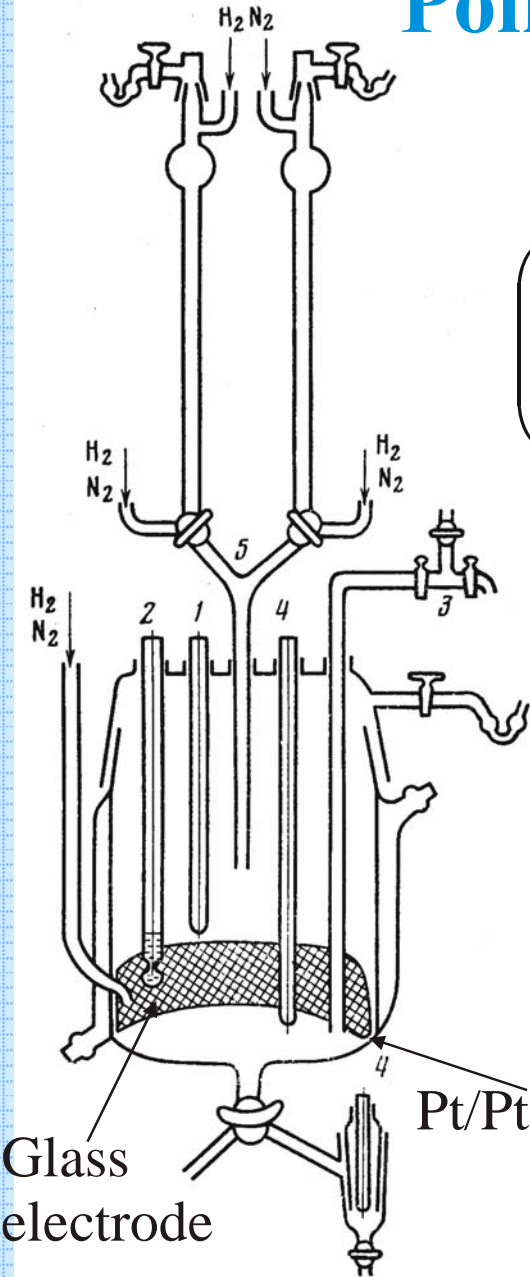
$$\Gamma_+, \Gamma_- - E(\text{RHE})$$

High-frequency
impedance

$$\mu_{\text{CA}} = \text{const}$$

$$Q_t = q_f - A_H$$

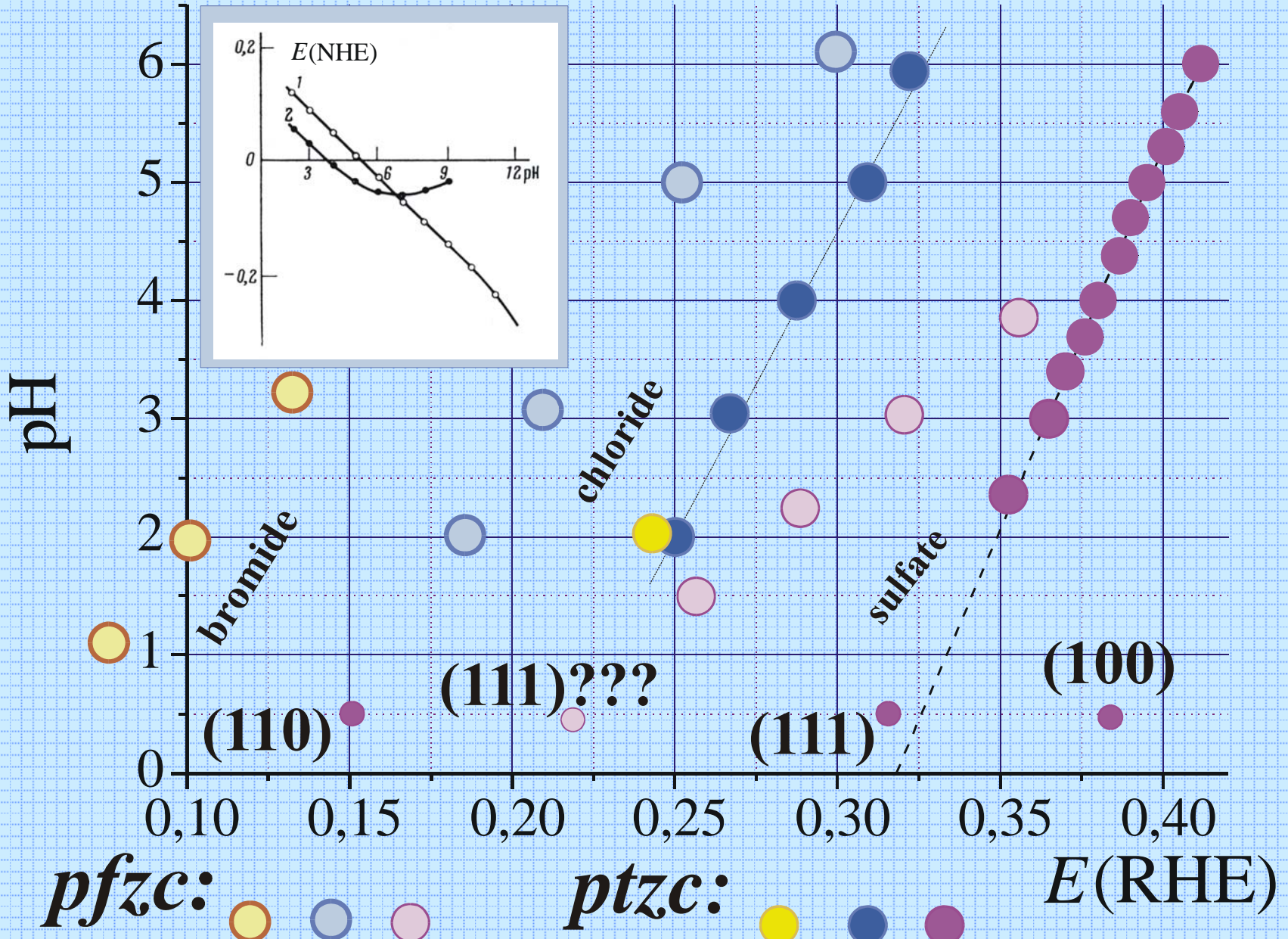
Points of zero charge - pH dependence



$$\left(\frac{\partial E}{\partial \mu_{H^+}} \right)_{q_f=0} = \frac{1}{1 - \left(\frac{\partial q_f}{\partial A_H} \right)_{E(\text{RHE})}}$$

$$\left(\frac{\partial E}{\partial \mu_{H^+}} \right)_{Q_t=0} = \frac{1}{1 - \left(\frac{\partial q_f}{\partial A_H} \right)_{\mu_{H^+}}}$$

Potentiometric titration under
isoelectric conditions, 1974



2008

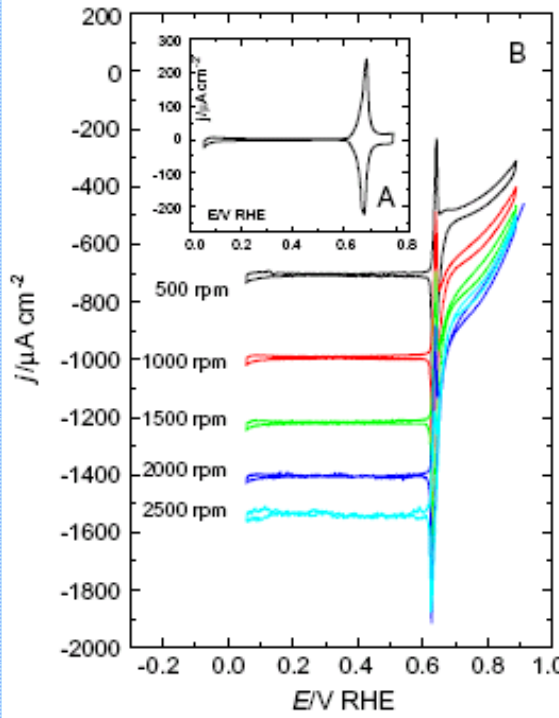
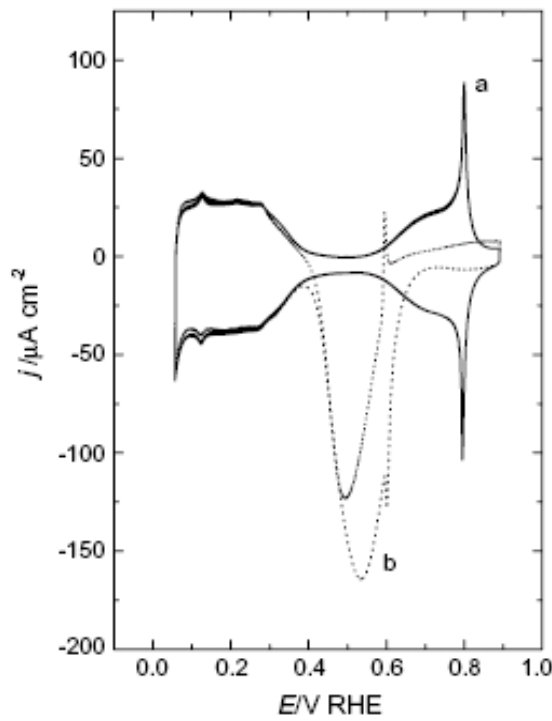
Peroxodisulphate reduction as a novel probe for the study of platinum single crystal/solution interphases

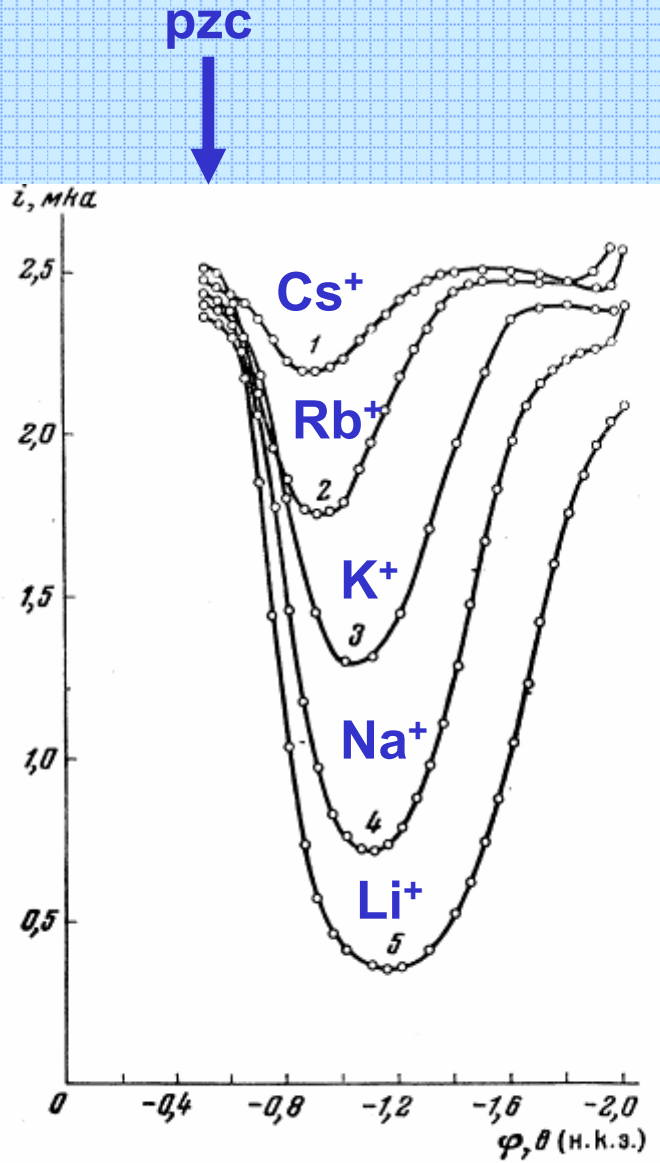
Victor Climent ^a, M. Dolores Maciá ^a, Enrique Herrero ^a, Juan M. Feliu ^{a,*}, Oleg A. Petrii ^b

^a Instituto de Electroquímica, Universidad de Alicante, Ap. 99, E-03080 Alicante, Spain

^b Moscow State University, Chemical Faculty, 119992 Moscow, Russia

Срастание двух тематик: стерта грань между ртутью и платиной!



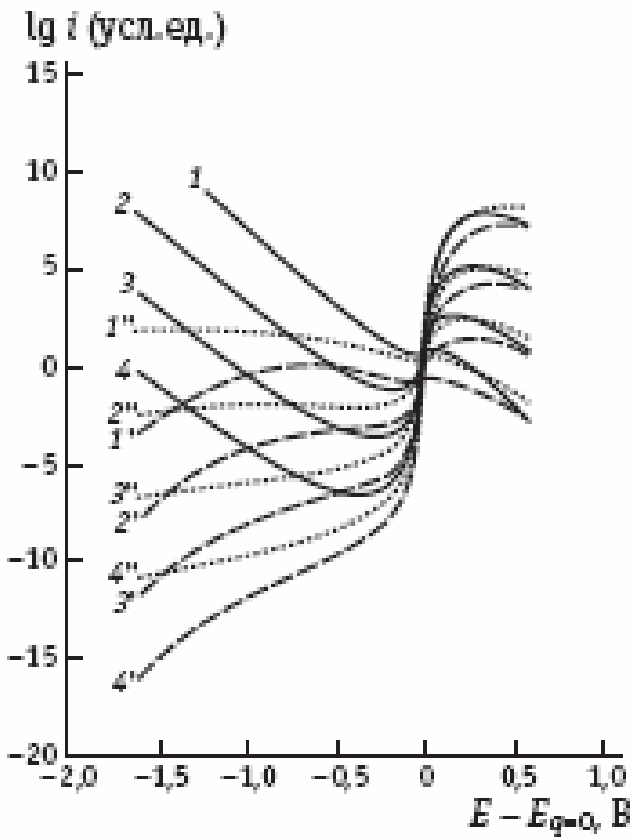
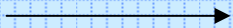
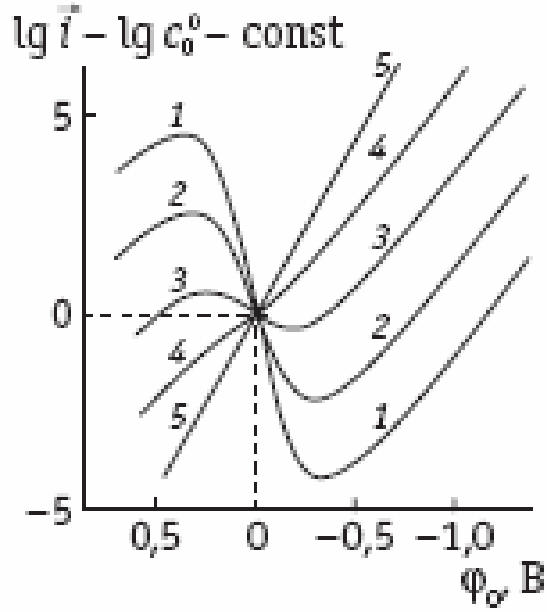


1. Поляризационные кривые $10^{-3} \text{ N } \text{K}_2\text{S}_2\text{O}_8$ в присутствии:
 N CsCl; 2— 10^{-2} N RbCl; 3— 10^{-2} N KCl; 4— 10^{-2} N NaCl; 5 — 10^{-2} N LiCl.



1953

Восстановление анионов – новый виток

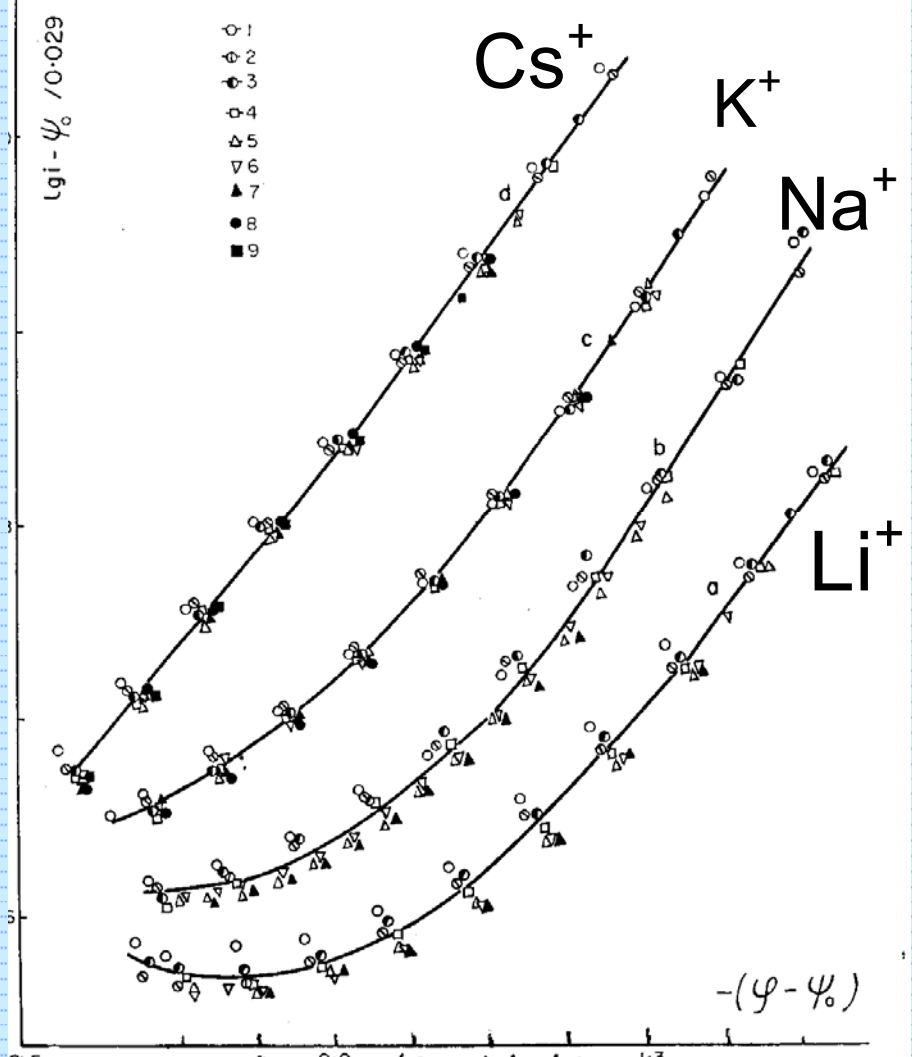


$$\sqrt{RT(\ln \chi - \ln i) - z_0 F \Psi_1} = \frac{F(\eta - \Psi_1)}{2\sqrt{\lambda}} + \frac{\lambda}{2} ;$$

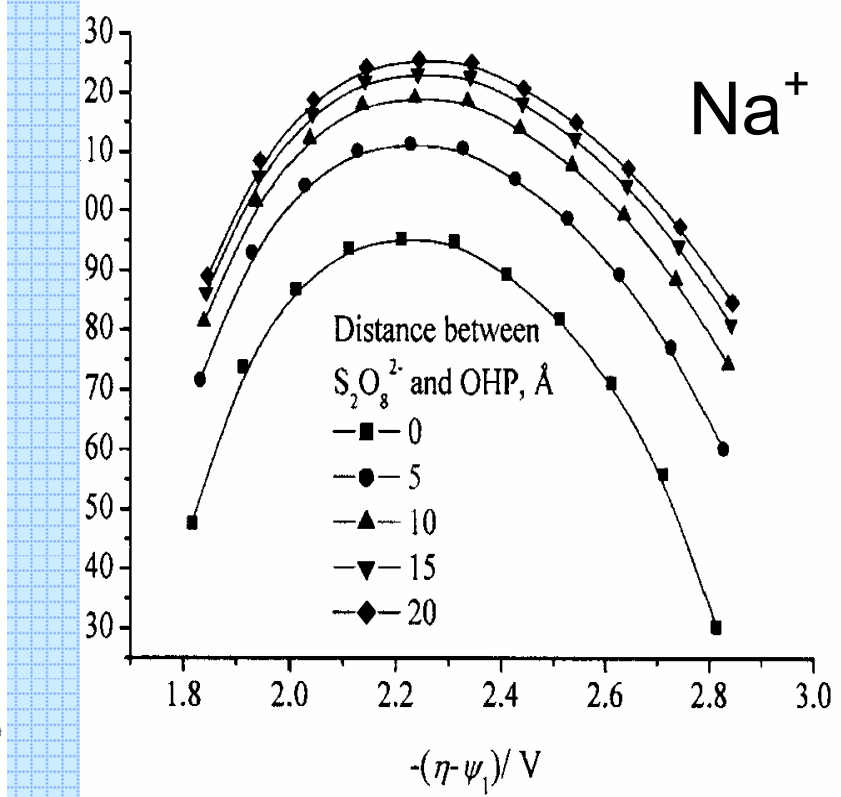
$\sqrt{RT(\ln \chi - \ln i) - z_0 F \Psi_1}$ versus $\eta - \Psi_1$

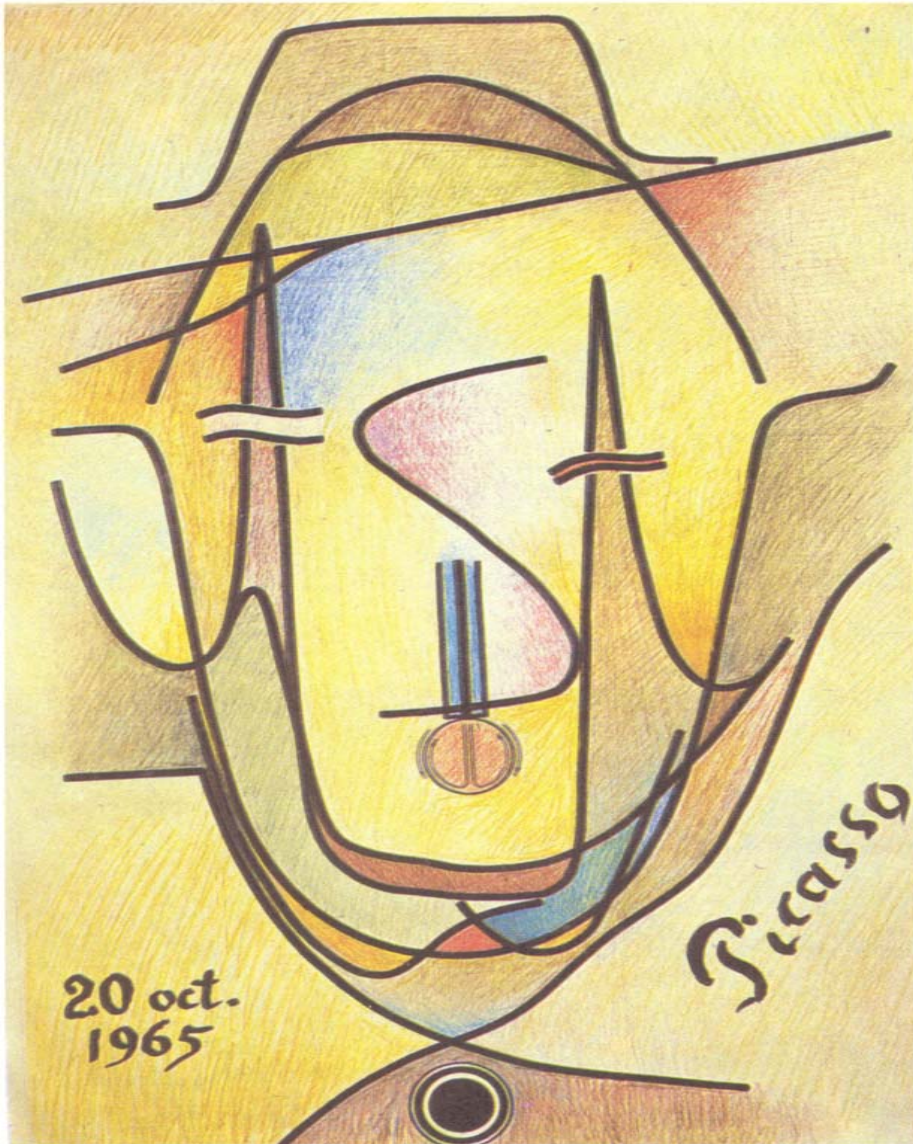
$[\text{H}_2\text{CeW}_{10}\text{O}_{36}]^{6-}$

CTP (1963)



CMP (2006)





Здесь вместо носа появилась изотерма